اصطناع وتوصيف بعض المعقدات المعدنية المختلطة للكريا تينين وحمض الأديبيكمع أيونات $(Zn^{2+}, Cd^{2+}, Co^{2+}, Cu^{2+})$ المعادن ودراسة فعاليتما البيولوجية

رنيم سليم * د.فائز حزواني * * الملخص

تم في هذا البحث اصطناع معقدات مختلطة جديدة باستخدام حمض الأديبيك والكرياتينين لآيونات المعادن (Zn²⁺, Cd²⁺, Co²⁺, Cu²⁺) بمردود جبد.

حددت هوية كل من المرتبطتين والمعقدات المحضرة من خلال مطيافية الأشعة ما تحت الحمراء (FT-IR) ومطيافية الأشعة فوق البنفسجية والمرئية (UV-Vis)، وتم قياس الناقلية الكهربائية للمعقدات المحضرة ، فتبين أنها غير كهرليتية وثنائية النوى ورباعية التساند.

كما درست الفعالية البيولوجية للكرياتينين والمعقدات المحضرة على جراثيم إيجابية الغرام Staphylococcus Aureeus (S.T)، و سلبية الغرام Enterobacter ومقارنة النتائج مع فعالية المادة المرجعية الجنتاميسين على نفس نوع الجراثيم؛ فتبين أنها قادرة على إيقاف نمو الجرثومة ايجابية الغرام بينما غير قادرة على ايقاف نمو الجرثومة سلبية الغرام باستثناء معقد الكادميوم الذي أبدى فعالبة عالبة.

الكلمات المفتاحية: كرباتينين، حمض الأدبيبك، معقدات مختلطة، نشاط ببولوجي

^{*)} طالبة الماجستير: قسم الكيمياء- كلية العلوم - جامعة حمص - حمص - سوريا.

^{**)} أستاذ الكيمياء اللاعضوية: قسم الكيمياء- كلية العلوم - جامعة حمص - حمص - سوريا.

Synthesis and Characterization of Some Mixed Metal Complexes of Creatinine and Adipic Acid with Metal Ions $(Zn^{2^+}, Cd^{2^+}, Co^{2^+}, Cu^{2^+})$ and Study of Their Biological Activity

R.Salim*, F.Hazwani**

Abstract

In this research, new mixed complexes were synthesized using adipic acid and creatinine with metal ions $(Zn^{2+},Cd^{2+},Co^{2+},Cu^{2+})$ in good yields.

The identities of both the ligands and the synthesized complexes were determined using Fourier-transform infrared spectroscopy (FT-IR) and ultraviolet-visible spectroscopy (UV-Vis). The electrical conductivity of the complexes was measured, and the study results revealed that the complexes are non-electrolytic, binuclear, and tetra coordinated.

The biological activity of creatinine and the synthesized complexes was studied antibiotic gentamicin against the same bacterial strains. The findings revealed that the compounds were capable of inhibiting the growth of Gram-positive bacteria but showed no activity against Gram-negative bacteria—except for the cadmium complex, which showed high effectiveness.

Key words: creatinine, adipic acid, mixed complexes, biological activity.

^{*)} master student, Department of chemistry-Faculty of science-Homs university Homs-Syria.

^{**)} professor of inorganic chemistry, Department of chemistry-Faculty of science-Homs university Homs-Syria.

1-المقدمة:

تعد المعقدات المختلطة من المركبات التساندية التي تحتوي على أكثر من نوع واحد من المرتبطات المرتبطة بأيون معدن مركزي[1]. تكمن أهمية المعقدات المختلطة في قدرتها على تحقيق استقرار أعلى مقارنة بالمعقدات أحادية المرتبطة[2]. وتستخدم المعقدات المختلطة على نطاق واسع في مجالات متعددة، من أبرزها الطب، حيث أظهرت بعض المعقدات المختلطة فعالية مضادة للسرطان والميكروبات والفيروسات[3]، بالإضافة الى استخدامها كحفازات في التفاعلات العضوية والصناعية المختلفة[4] منها تفاعلات الهدرجة، الأكسدة، والبلمرة، حيث تسهم في تحسين كفاءة التفاعل وانتقائيته[5]، وأيضاً في الكيمياء التحليلية للكشف عن الأيونات المعدنية وتحديدها كمياً و نوعياً[1]. وتبرز أهمية هذه المعقدات في المجال البيئي من خلال قدرتها على إزالة الملوثات من المياه والهواء، إذ تعمل على احتجاز الأيونات المعدنية الثقيلة أو المواد العضوية السامة[6]. علاوة على ذلك، تدخل هذه المعقدات في العديد من التطبيقات الصناعية مثل تصنيع الأصباغ والمواد النانوية ذات الخصائص المغناطيسية أو الضوئية[7]، إلى جانب استخدامها في تطوير الخلايا الشمسية ، ما يفتح آفاقاً واسعة في مجالات الطاقة المتجددة والإلكترونيات المتقدمة[8].

يوجد الكرياتينين (C₄H₇N₃O) ، وهو مركب عضوي نيتروجيني ، في الأنسجة العضلية والدم. يفرز عادة في البول كنفايات الأيض، حيث يستخدم الكرياتينين على نطاق واسع في التشخيص المخبري للوظيفة الكلوية والعضلية [9]. وينتمي الكرياتينين إلى المركبات التساندية نتيجة وجود عدة مجموعات مانحة تحدد قدرته التنسيقية القوية[10].

يبين الشكل (1) الصيغة التركيبية للكرياتينين[9].

الشكل (1): الصيغة التركيبية للكرياتينين

Zn^{2+} , المعقدات المعدنية المختلطة الكرياتينين و حمض الأديبيك مع أيونات المعادن (Cd^{2+} , Co^{2+} , Cu^{2+})

يحتوي الكرياتينين على شكلين تتوميريين. تشير الدراسات الطيفية للرنين المغناطيسي النووي والدراسات الكوانتية إلى أن التوتومير إيمينو للكرياتينين أكثر استقرارا في المحاليل المائية [9].

الشكل (2) الشكلين التوتوميريين للكرياتينين [9]

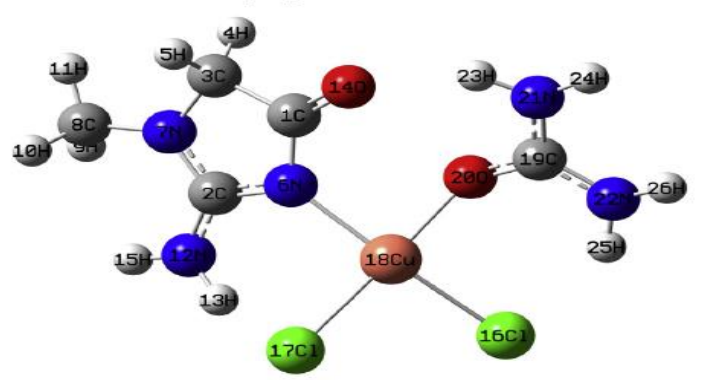
يمنع الكرياتينين التكاثر البكتيري من خلال التغلب على قدرة الخلايا البكتيرية على ضخ البروتونات عند الانسان ويعد عاملا لتثبيط الالتهابات البكتيرية الجلدية وله تطبيقات متنوعة في العناية بالجروح والعلاج كمكمل ، أو بديل عن مضادات للجراثيم المستخدمة حاليا، وفي مختلف التطبيقات السريرية والبيطرية والصناعية الأخرى [11].حيث ينطرح الكرياتينين عن طريق الكلية ويعد مقياس اطراحه مشعرا لوظيفة الكلية وفي حال زيادة نسبته يصبح ساما [12].

- النحاس مع النحاس مع النحاس مع النحاس مع النحاس مع النحاس مع النحاس [CuCreat $_2(H_2O)_4](NO_3)_2$,[CuCreat $_6](NO_3)_2$,[CuCreat $_6$]
- ردراسة بنيتها ودراسة بنيتها ودراسة بنيتها ودراسة بنيتها ودراسة بنيتها ودراسة بنيتها ودراسة بنيتها باستخدام الطرائق FT-IR ،DSC ،TG ومطيافية الكتلة، وكان لها أهمية كبيرة في الكيمياء السريرية[13].
- كما تم عام 2000 تحضير معقدات جديدة للكرياتينين مع (INi(creat)₄](ClO₄)₂،[Ni(creat)₆](NO₃)₂،[Ni(creat)₂(H₂O)₂]Cl₂)

 ([Ni(creat)₂(H₂O)₂]SO₄) باستخدام محفزات عضوية، وتم دراستها بنيتها باستخدام التحليل العنصري وطيف الأشعة تحت الحمراء و thermogravimetric و thermogravimetric و كان لهذه المعقدات بنية غير ثابتة في الماء من خلال مقارنتها مع معقدات مشابهة مع النحاس (II)[14]Cu.
- عام 2015 تم تحضير معقد للنحاس باستخدام مرتبطة متجانسة (الكرياتينين) ومرتبطة عير متجانسة (كرياتينين مع اليوريا) من قبل الباحث ديبراج Debraj Gangopadhyay

وفريقه، ودرست بنية المرتبطة والمعقدات باستخدام نظرية تابع الكثافة الالكترونية وفريقه، ودرست بنية المرتبطة والمعقدات باستخدام أطياف FT-IR و رامان ، الأشعة فوق البنفسجية وتقنية الفلورة، بينت النتائج أن معقد النحاس باستخدام مرتبطة مختلطة ذات قدرة على الذوبان بالماء بشكل أكبر (450g/l) مقارنة مع معقد النحاس مع الكرياتينين لوحده (1/90g/l) . ولهذه المعقدات أهمية كبيرة في علوم الحياة والطب، إذ تستخدم لإزالة المواد السامة الكرياتينين واليوريا من الدم من مرضى الكلى [15] .

(a) Scheme 1: a. CuCl₂.2H₂O (1 equiv.), methanol (dry), stirring, 2h



(b) Cu-Crn-urea heteroligand complex

• كما تم في نفس العام تحضير بعض المعقدات لآيونات (II) و (II) و (II) و Co(II) و Co(II) و Co(II) و Co(II) و باستخدام مرتبطات مختلطة الكرياتينين مع بعض الحموض الأليفاتية ثنائية الوظيفة (حمض الطرطريك والمالونيك والسكسونيك) ودراسة ثباتها ترموديناميكياً، إذ بينت دراسة النتائج أن بنية معقدات (II) و Co(II) مربع مستوي وبنية معقدات (II) (II) رباعي وجوه كما هو موضح بالمخطط التالي [10].

Zn^{2+} , المعدنية المعدنية المختلطة الكرياتينين و حمض الأديبيك مع أيونات المعدنية المعدنية (Cd^{2+} , Co^{2+} , Cu^{2+})

The suggested structures of the prepared ternary complexes $[M(L^1)(L^2)_2](H_2O)_n$, where n=1 for M=Co(II) and Cu(II) and n=2 for M=Ni(II). $L^1=$ succinate $(R_1=R_2=H)$, malate $(R_1=OH,R_2=H)$, and tartarate $(R_1=R_2=OH)$.

2- هدف البحث:

يهدف هذا البحث الي:

- المعادن معقدات مختلطة للكرياتينين وحمض الأديبيك مع بعض أيونات المعادن -1
 - 2- دراسة بنية هذه المعقدات بالأجهزة الطيفية المتاحة .
- 3- دراسة النشاط البيولوجي للمعقدات المحضرة على نوعين من الجراثيم الممرضة سريرياً: جرثومة إيجابية الغرام (Staphylococcus Aureus S.T)، وجرثومة سلبية الغرام (Enterobacter).

3- مواد وطرائق البحث:

3-1- الأدوات والأجهزة المستخدمة في البحث:

- جهاز طيف ماتحت الأحمر IR نموذج (FT-IR-410) من شركة Jasco اليابانية (جامعة حمص).
 - جهاز طيف ماتحت الأحمر IR نموذج(FT/IR-4200typeA) (جامعة دمشق).
- جهاز مطيافية الأشعة فوق البنفسجية والمرئية (Vis-UV) من شركة Jasco اليابانية
 (جامعة حمص) .
 - جهاز قياس الناقلية الكهربائية (جامعة حمص).

- ميزان تحليلي بدقة تصل إلى 0,0001gr .
- مجفف لتجفيف العينات من انتاج شركة (memmert).
- مرمدة لحرق العينات وهي من النوع (Carbolite) يصل مجالها حتى الدرجة 1100 °C
 - سخان مزود بمحرك مغناطيسي.

3-2-المواد المستخدمة:

- بناين (C₄H₇N₃O) من انتاج شركة (Himedia) نقاوة %99.8.
- حمض الأديبيك(CdCl₂)،كلوريد الزنك(ZnCl₂)،كلوريد الكادميوم(CdCl₂)، كلوريد (Sigma Aldrich) من انتاج شركة (CoCl₂) ، كلوريد الكوبالت (CoCl₂) من انتاج شركة (Sigma Aldrich) نقاوة %99.
- 3. مذيبات ذات نقاوة مطلقة (DMSO,DMF، ايتانول، ميتانول) من إنتاج شركتي Merck و BDH الألمانيتين.

3-3- طرائق العمل:

3-3-1 تحضيرات معقدات معدنية باستخدام الكرياتينين وحمض الأديبيك:

تم تحضير معقدات معدنية مختلطة باستخدام الكرياتينين وحمض الأديبيك مع آيونات المعادن و Zn^{2+} , Cd^{2+} , Co^{2+} , Cu^{2+}

- 1. أذيب (0.25mmol) من حمض الأديبيك (L2) في حوجلة ثنائية الفتحة سعة (100ml) مزودة بمحرك مغناطيسي ومبرد عكوس في (15ml) ايتانول مع التحريك حتى الانحلال الكامل.
- 2. أذيب (0.5mmol) من كلوريد المعدن في (15ml) ايتانول، وأُضيف بالتتقيط إلى محلول حمض الأديبيك ، ثم تسخين مع التحريك لمدة ساعة عند درجة الحرارة (60°C).
- 3. أذيب (0.5mmol) من الكرياتينين (L1) في حوجلة ثنائية الفتحة سعة (100ml) مزودة بمحرك مغناطيسي ومبرد عكوس في (25ml) ايتانول حتى الانحلال الكامل.
- 4. أضيف محلول الكرياتينين إلى محلول الحوجلة الأولى بالتتقيط، فلوحظ تشكل عكر أثناء الإضافة ،و حدد PH الوسط فكان PH=7.

Zn^{2+} , المعدنية المعدنية المختلطة الكرياتينين و حمض الأديبيك مع أيونات المعدنية المعدنية (Cd^{2+} , Co^{2+} , Cu^{2+})

- 5. أجري غلياناً مرتداً (Reflux) عند درجة الحرارة (60° C) مع التحريك لمدة ثلاث ساعات، فتشكل راسب (أبيض اللون بالنسبة لمعدني الزنك والكادميوم، وأزرق بالنسبة للكوبالت، وأخضر بالنسبة للنحاس).
- 6. رشح الراسب الناتج وغسل بالايتانول الساخن عدة مرات ثم بثنائي إيتيل الإيتر، وجفف لحساب وزنه ومردوده لاحقاً.

ويبين الجدول (1) بعض الخصائص الفيزيائية للمعقدات المصنعة.

الجدول (1): الخصائص الفيزيائية للمرتبطتين والمعقدات المعدنية

المركبات	الكتلة المولية Mw(g\mol)	اللون	درجة الإنصهار °C	المردود %	الذوبانية في			
					EtOH	МеОН	DMF	DMSO
الكرياتينين(L1)	C ₄ H ₇ N ₃ O 113.1176	أبيض	300		++	++	++	++
حمض الأديبيك(L2)	C ₆ H ₁₀ O ₄ 146.1408	أبيض	152		++	++	++	++
$[Zn_2(L1)_2(L2)Cl_2]$	C ₁₄ H ₂₄ O ₆ N ₆ Cl ₄ Zn ₂ 645.006	أبيض	330	71.88	-	-	+	+
[Cd ₂ (L1) ₂ (L2)Cl ₂]	C ₁₄ H ₂₄ O ₆ N ₆ Cl ₄ Cd ₂ 739.012	أبيض	278	67.98	-	-	+	+
[Co ₂ (L1) ₂ (L2)Cl ₂]	C ₁₄ H ₂₄ O ₆ N ₆ Cl ₄ C ₀₂ 632.056	أزرق	257	75.93	-	-	+	+
[Cu ₂ (L1) ₂ (L2)Cl ₂]	C ₁₄ H ₂₄ O ₆ N ₆ Cl ₄ Cu ₂ 641.28	أخضر	190	41.01	-	-	+	+

++: ينحل عالبارد، +: ينحل على الساخن، -: لا ينحل

3-3-2-دراسة الفعالية البيولوجية اتجاه البكتريا:

تمت دراسة النشاط البيولوجي للكرياتينين و المعقدات المصنعة في مخبر الجراثيم في قسم البيولوجية على نوعين من الجراثيم الممرضة: جرثومة إيجابية الغرام (Staphylococcus Aureus S.T)، وجرثومة سلبية الغرام (Petri) مزروعتان داخل طبقين من أطباق بتري (Petri) حاويتان على وسط مغذي نوع (agar medium 11).

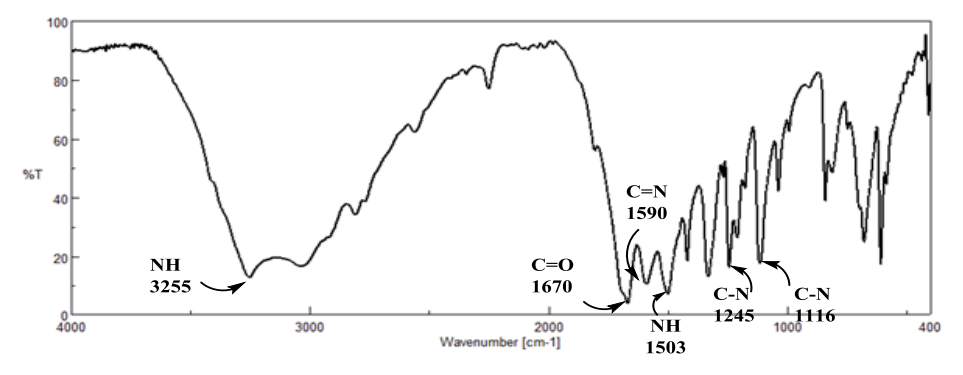
تم تحضير عينات من المركبات السابقة بتركيز (100μgr/l) باستخدام مذيب ثنائي ميثيل سلفوكسيد (DMSO)، وعينة من المادة المرجعية (جنتاميسين) (GE) أيضاً بتركيز (100μgr/l) باستخدام المذيب نفسه، ووضعت العينات في كل طبقPetri التي تم إعدادها مسبقاً باستخدام أسطوانات من الفولاذ المقاوم

للصدأ (stainless steel)، ثم وضعت الأطباق داخل حاضنة مدة (36) ساعة بدرجة حرارة الوسط الخلوي (36). 30°(36.5-37).

4- النتائج والمناقشة:

1-4 - دراسة بنية المرتبطة 1.1: درست بنية المرتبطة باستخدام مطيافيتي الأشعة ما تحت الحمراء والأشعة فوق البنفسجية والمرئية.

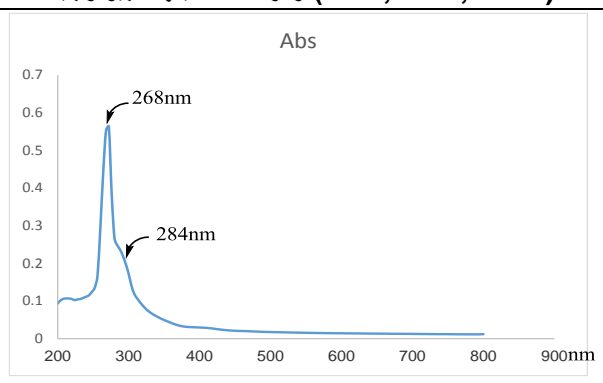
يبين الشكل (3) طيف الـ IR للكرياتينين بالشكل الإيمينو، وجود عصابات امتصاص رئيسية عند الأعداد الموجية $^{-1}$ 3255 cm عائدة لامتطاط الرابطة $^{-1}$ وعند $^{-1}$ 1503cm عائدة لامتطاط الرابطة $^{-1}$ 0 وعند $^{-1}$ 1509cm عائدة لحني الرابطة $^{-1}$ 1 وعند $^{-1}$ 1509cm عائدة لامتطاط الرابطة $^{-1}$ 1 وعند $^{-1}$ 16cm موظهور عصابة امتصاص عند $^{-1}$ 1116cm عائدة لامتطاط الرابطة $^{-1}$ 1 خارج الحلقة وظهور عصابة امتصاص عند $^{-1}$ 1116cm عائدة لامتطاط الرابطة $^{-1}$ 1 خارج الحلقة $^{-1}$ 1



الشكل (3): طيف الأشعة ما تحت الحمراء للمرتبطة L1

ومن خلال قياس مطيافية الأشعة فوق البنفسجية و المرئية (UV-visible) الشكل (4) المرتبطة ومن خلال قياس مطيافية الأشعة فوق البنفسجية و المرئية (DMSO) وباستخدام خلية من الكوارتز ذات عرض (L1) باستخدام في مذيب دي ميتيل سلفوكسيد (DMSO) وباستخدام خلية من الكوارتز ذات عرض 1 cm ، وبدرجة حرارة الغرفة لوحظ ظهور قمتين عند $(\pi \to \pi)$ نتيجة لاحتواء المرتبطة على روابط عند $\lambda_{max}=268$ nm الكربونيل (C=O) و (C=N) الأيمين ،أما القمة الثانية عند $\lambda_{max}=284$ nm تمثل الانتقال الالكتروني من نوع ($\pi \to \pi$) نتيجة لاحتواء المرتبطة على أزواج الكترونية حرة على على من ذرتى الأوكسجين و الأزوت .

 Zn^{2+} , المعقدات المعدنية المختلطة الكرياتينين و حمض الأديبيك مع أيونات المعادن (Cd^{2+} , Co^{2+} , Cu^{2+})

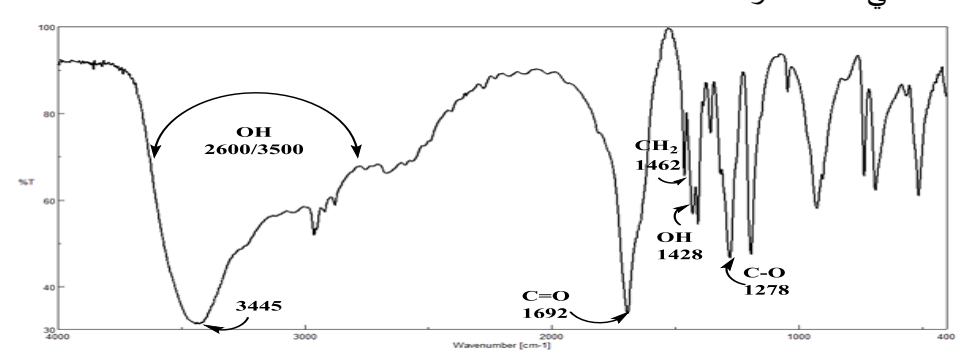


الشكل (4): طيف (uv-vis) للمرتبطة L1

2-4- دراسة بنية المرتبطة L2:

أيضاً درست بنية المرتبطة باستخدام مطيافيتي الأشعة ما تحت الحمراء والأشعة فوق البنفسجية والمرئية.

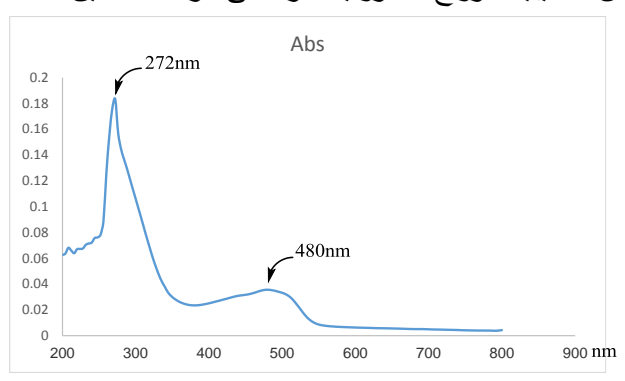
اظهر طيف IR الشكل (5) ظهور مجال امتصاص عند $2600 \ 3450 \ \mathrm{cm}^{-1}$ عائد لامتطاط OH الحمضية حيث ظهرت قمتها عند $3445 \ \mathrm{cm}^{-1}$ ، وظهور عصابات امتصاص عند OH Cm^{-1} عائدة لامتطاط C=O ، و عند CH_{2} عائدة لحنى CH_{3} . و عند CH_{4} عائدة لحنى CH_{3} .



الشكل (5): طيف الأشعة ما تحت الحمراء للمرتبطة L2

أظهرت مطيافية الأشعة فوق البنفسجية والمرئية (UV-Vis) للمرتبطة L2 الشكل(6) في مذيب دي ميتيل سلفوكسيد (DMSO) وجود قمة عند $\lambda_{max}=272$ nm عند $(\pi \to \pi^*)$ نتيجة لاحتواء المرتبطة على روابط ثنائية في مجموعتي الكربوكسيل، ووجود قمة عند $\lambda_{max}=480$ nm عند $\lambda_{max}=480$ nm تمثل الانتقال الالكتروني ($\lambda_{max}=480$ nm)

نتيجة لاحتواء حمض الأديبيك أزواج الكترونية حرة على ذرة الأكسجين.

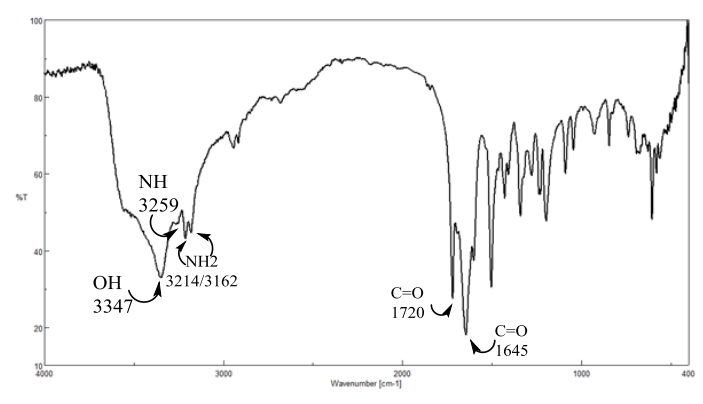


الشكل (6): طيف (uv-vis) للمرتبطة L2

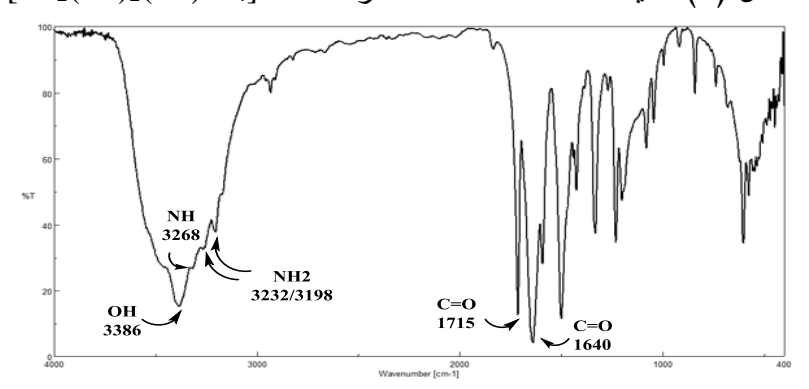
4-3- دراسة بنية المعقدات المحضرة:

تم الحصول على أربع معقدات من خلال تفاعل المرتبطتين مع أملاح المعادن MCl₂ حيث: (3) والتي خُلّت في الإيتانول مع التحريك المستمر لمدة (M=Zn²⁺,Cd²⁺,Co²⁺,Cu²⁺) ساعات عند درجة الحرارة °60°C، ودرست بنية المعقدات المحضرة باستخدام مطيافية الأشعة ما تحت الحمراء (FT-IR) الأشكال (7,8,9,10)، تبين الأطياف المسجلة للمعقدات من خلال مقارنتها مع طيف المرتبطتين L1 و L2 تواجد الكرياتينين بالشكلين التوتوميريين عند التعقيد حيث تشكلت عصابتي امتصاص عند (3162-3198Cm-1) و (3208-3232Cm-1) عائدتين للامتطاط المتناظر واللامتناظر لمجموعة الامين (NH₂)، بالإضافة لعصابة الامتصاص التابعة لامتطاط الرابطة (NH) بالكرياتينين حيث ظهرت عصابة الامتصاص عند(3258-3268Cm-1) في المعقدات المحضرة إضافةً إلى انزياح عصابة الامتصاص التابعة لامتطاط مجموعة (OH) نحو الأعداد الموجية الأدنى من 3450Cm-1 في حمض الأديبيك إلى(3341,3386Cm-1) في المعقدات المحضرة، وانزياح عصابة الامتصاص التابعة لامتطاط مجموعة الكربونيل (C=O) في الكرياتينين نحو الأعداد الموجية الأدني من -1670Cm 1 إلى (1640-1657Cm⁻¹) في المعقدات المحضرة، بينما في حمض الأديبيك انزاحت نحو الأعداد الموجية الأعلى من 1692Cm⁻¹ إلى (1700-1720Cm⁻¹) بسبب تساند الزوج الالكتروني الموجود على ذرة الأكسجين OH مع ذرة المعدن فازدات قوة الرابطة C=O وانزاحت نحو العدد الموجى الأعلى في المعقدات المحضرة. اصطناع وتوصيف بعض المعقدات المعدنية المختلطةللكرياتينين و حمض الأديبيك مع أيونات المعادن , 2n²⁺, (Cd²⁺, Co²⁺)

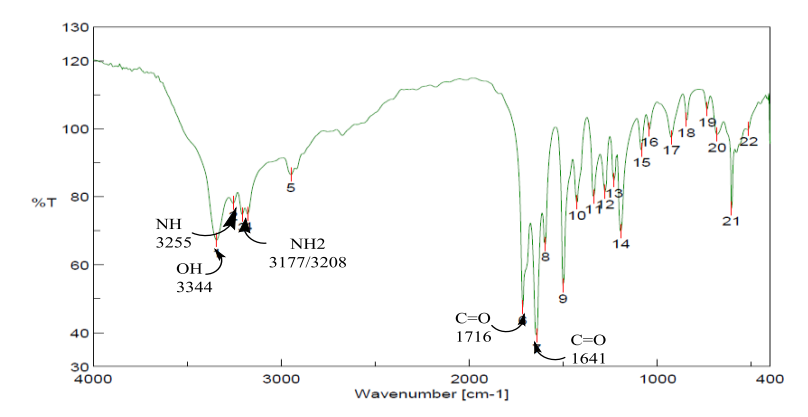
أي أنَّ تساند الشاردة المعدنية (M^{2+}) مع المرتبطتين (L1) يتمَّ من خلال أوكسجين مجموعة الكربونيل و (L2) من خلال ذرات أوكسجين OH الحمضية.



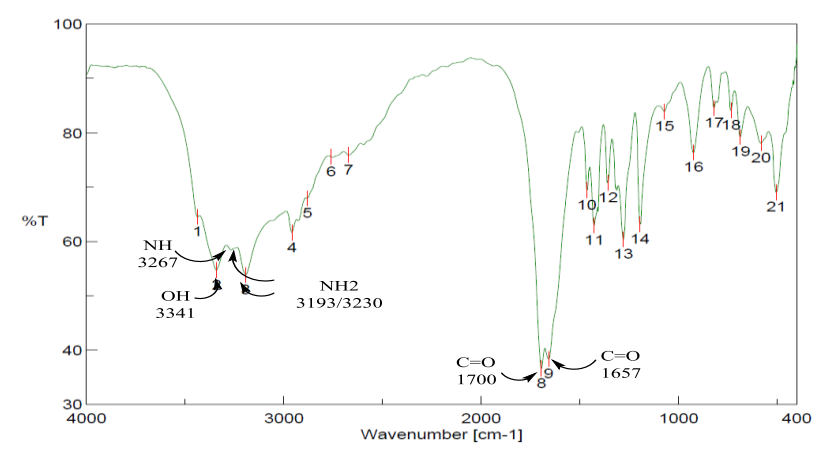
الشكل (7): طيف الأشعة ما تحت الحمراء للمعقد [Zn₂(L1)₂(L2)Cl₄]



الشكل (8): طيف الأشعة ما تحت الحمراء للمعقد [Cd₂(L1)₂(L2)Cl₄]



الشكل (9): طيف الأشعة ما تحت الحمراء للمعقد [Co₂(L1)₂(L2)Cl₄]



الشكل (10): طيف الأشعة ما تحت الحمراء للمعقد [10): طيف الأشعة ما

يبين الجدول(2) أهم الانزياحات في طيف الأشعة ما تحت الحمراء للمرتبطتين ومعقداتها المعدنية.

الجدول (2): قيم عصابات الامتصاص في طيف (FT-IR) للمرتبطتين L1 و L2 ومعقداتهما المعدنية

Comp.	العدد الموجي ō (cm ⁻¹)					
Об р.	$\bar{\upsilon}(NH_2)$	ΰ(OH)	ῡ(NH)	ῡ(C=O)acid	ῡ(C=O)carbonyl	
L1	-	-	3255	-	1670	
L2	-	2600-3450		1692	-	
$[Zn_2(L1)_2(L2)Cl_4]$	3162-3214	3347	3259	1720	1645	
$[Cd_2(L1)_2(L2)Cl_4]$	3198-3232	3386	3268	1715	1640	
[Co2(L1)2(L2)Cl4]	3177-3208	3344	3255	1716	1641	
[Cu2(L1)2(L2)Cl4]	3193-3230	3341	3267	1700	1657	

وتظهر الأشكال (11, 12, 13, 14) أطياف الأشعة فوق البنفسجية والمرئية للمعقدات المحضرة، حيث يلاحظ وجود ثلاث قمم في معقدي الزنك والكادميوم الأولى تقع عند $\lambda_{max}=272$ nm في كلا معقدي الزنك والكادميوم وهي تمثل الانتقال الالكتروني ($\pi \rightarrow \pi$) نتيجة احتواء المعقد على روابط مزدوجة عائدة للكرياتينين ((C=O))، وللحمض ((C=O)).

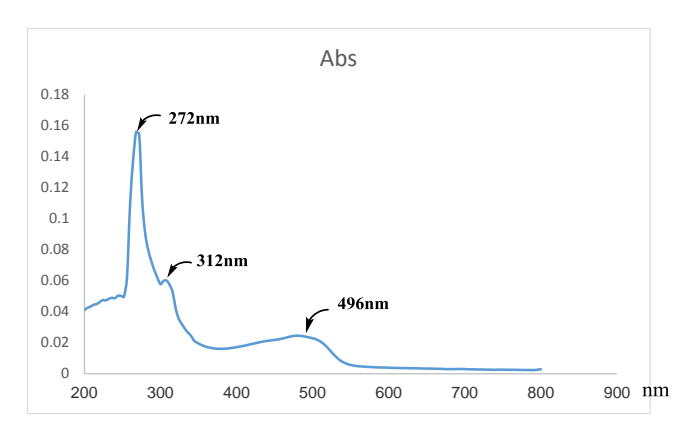
أما القمة الثانية عند $\lambda_{max}=312$ nm في معقد الزنك و $\lambda_{max}=312$ nm في معقد الكادميوم تمثل الانتقال الالكتروني ($n \rightarrow \pi^*$) وهي عائدة الى الأزواج الكترونية الحرة لكل من ذرات الأوكسجين و

اصطناع وتوصيف بعض المعقدات المعدنية المختلطة للكرياتينين و حمض الأديبيك مع أيونات المعادن, المعادن, المعادن و المختلطة الكرياتينين و حمض الأديبيك مع أيونات المعادن, المعادن, المعادن (Cd²+, Co²+, Cu²+)

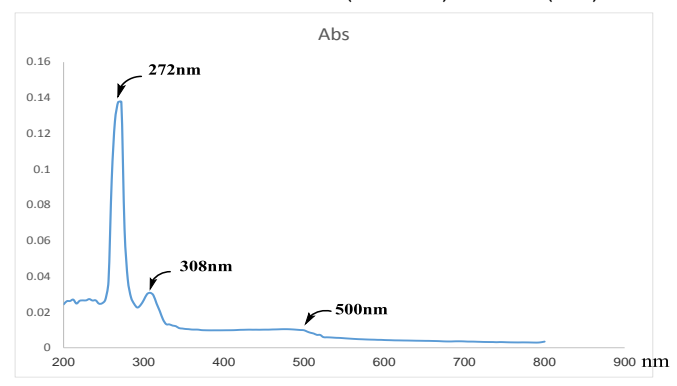
الأزوت في الكرياتينين والتي انزاحت نحو الاطوال الموجية الأكبر. أما القمة الثالثة عند $\lambda_{max}=496$ nm في معقد الزنك و $\lambda_{max}=496$ في معقد الكادميوم تمثل الانتقال الالكتروني ($n \rightarrow \pi^*$) وهي عائدة الى الأزواج الكترونية الحرة على ذرات الأوكسجين العائدة للحمض والتي الزاحت نحو الأطوال الموجية الأكبر.

كما لوحظ وجود خمس قمم في معقد الكوبالت الأولى تقع عند $\lambda_{\max} = 272$ و و (C=O) نتيجة احتواء المعقد على روابط مزدوجة عائدة للكرياتينين (C=O) و (C=O). وللحمض (C=O). أما القمة الثانية عند $\lambda_{\max} = 304$ تمثل الانتقال الالكتروني (C=N) وهي عائدة الى الأزواج الكترونية الحرة لكل من ذرات الأوكسجين و الأزوت في ($n \to \pi^+$) وهي عائدة الى الأزواج الكترونية الأكبر. أما القمة الثالثة عند $\lambda_{\max} = 492$ تمثل الانتقال الالكتروني ($n \to \pi^+$) وهي عائدة الى الأزواج الكترونية الحرة على ذرات الأوكسجين العائدة الانتقال الالكتروني ($n \to \pi^+$) وهي عائدة الى الأزواج الكترونية الحرة على ذرات الأوكسجين العائدة للحمض والتي انزاحت نحو الأطوال الموجية الأكبر. أما القمتين الرابعة والخامسة عائدتين للانتقال المحمض والتي انزاحت نحو الأطوال الموجية الأكبر. أما القمتين الرابعة والخامسة عائدتين للانتقال المدتبطتين بالحالة الحرة وذلك نتيجة التساند مع الشاردة المعدنية .

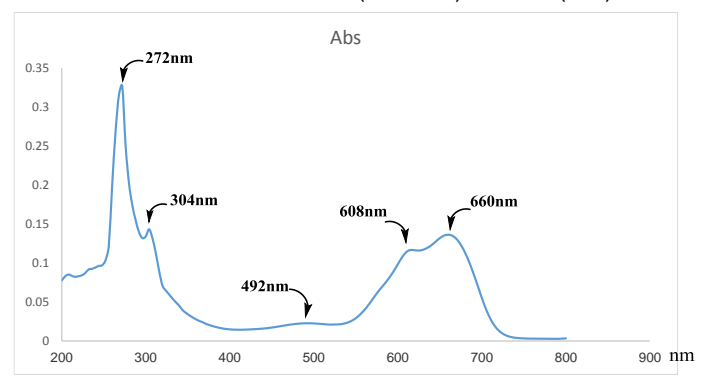
بينما ظهر في معقد النحاس أربع قمم الأولى عند $\lambda_{max}=272$ وهي تمثل الانتقال الالكتروني ابينما ظهر في معقد النحاس أربع قمم الأولى عند (C=N) و (C=O) و (C=O) و الكرياتينين (C=O) و المعقد على روابط مزدوجة عائدة الى الأزواج الكترونية الحرة لكل من والمحمض (C=O) والثانية عند $\lambda_{max}=308$ الكرياتينين والتي انزاحت نحو الاطوال الموجية الأكبر أما القمة الثالثة عند $\lambda_{max}=492$ تمثل الانتقال الالكتروني ($\lambda_{max}=492$ وهي عائدة الى الأزواج الكترونية الحرة على ذرات الأوكسجين العائدة للحمض والتي انزاحت نحو الأطوال الموجية الأكبر والقمة الرابعة منخفضة الشدة عائدة للانتقال $\lambda_{max}=504$ مقارنة مما هو عليه في كلا المرتبطتين بالحالة الحرة وذلك نتيجة التساند مع الشاردة المعدنية .



الشكل (uv-vis) طيف (uv-vis) المعقد [2n₂(L1)₂(L2)Cl₄]

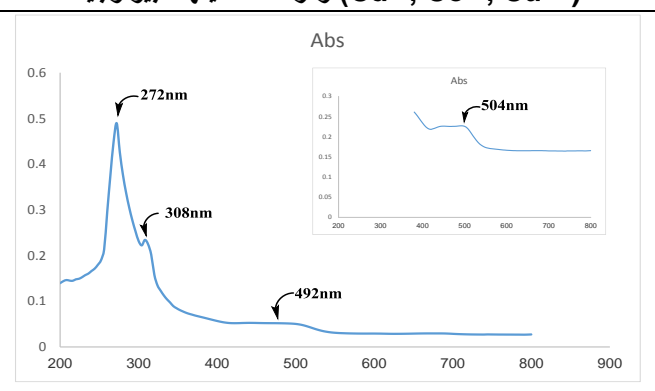


الشكل (uv-vis) طيف (uv-vis) المعقد (12): طيف



الشكل (uv-vis) طيف (uv-vis) للمعقد [Co₂(L1)₂(L2)Cl₄]

 Zn^{2+} , المعدنية المختلطة المحتنية المختلطة المحتنية المختلطة المحتنية المعدنية المعدنية المحتنية المحتنية



الشكل (14): طيف (uv-vis) للمعقد (14): طيف

4-4-قياس الناقلية الكهربائية والكشف عن الكلور في المعقدات المحضرة:

تم الكشف عن محتوى الكلور في المعقدات المعدنية المحضرة وفق الطريقة التالية: حُل (0.01 و) من المعقد المعدني المحضر مع كمية مناسبة من DMSO، وأضيف (9 (0.05 gr) من نترات الفضة الممددة بالماء المقطر AgNO₃ والمضاف اليها عدة نقاط من حمض الأزوت مع التحريك، فلم يتشكل راسب في جميع المعقدات مما يدل على عدم وجود الكلور خارج كرة التساند. أضيف لمحلول المعقد عدة قطرات من حمض الازوت لتخريبه وسخن قليلا بعد ذلك أضيفت نترات الفضة فلوحظ تشكل راسب أبيض للمعقدات المذكورة مما يدل على وجود الكلور في كرة التساند الداخلية. تم قياس الناقلية الكهربائية للمعقدات المحضرة باستخدام مذيب دي ميتيل فورم أميد (DMF) وفق الجدول (3) مع الأخذ بعين الاعتبار ناقلية المحل 2µ.5 فكانت جميع المعقدات غير كهرليتية.

الجدول (3): الناقلية الكهربائية المولية للمعقدات المحضرة

Comp.	الناقلية الكهربائية المولية $\Omega^{-1}.\mathrm{Cm}^2.\mathrm{mol}^{-1}$		
[Zn ₂ (L1) ₂ (L2)Cl ₄]	13.8		
[Cd ₂ (L1) ₂ (L2)Cl ₄]	19.6		
[Co ₂ (L1) ₂ (L2)Cl ₄]	29.7		
[Cu ₂ (L1) ₂ (L2)Cl ₄]	21.3		

4-5- دراسة نسبة المعدن في المعقدات المعدنية:

C لقد تمت الدراسة من خلال طريقة الترميد حيث تم ترميد المعقد عند درجات عالية من الحرارة 800°

تم وضع 0.0391g من معقد الزنك في جفنة حرارية وأضيف إليه 1.5ml من حمض الآزوت المركز ثم تم الترميد حتى الدرجة 800° C لمدة ساعة ونصف ، فيتشكل لدينا أكسيد الزنك 2nO وكان وزنه 2nO .

$$ZnO$$
 من ZnO کل 81.3772g من ZnO تحتوي على ZnO من ZnO من ZnO من ZnO من ZnO من ZnO من ZnO

النسبة العملية للزنك في المعقد:

$$Zn\% = \frac{0.0066}{0.0341} \times 100 = 19.3112\%$$

$$\begin{array}{ccc} [Zn_2(Creatinine)_2(adipic\ acid)Cl_2] & \to & 2Zn \\ 645.006 & & 130.7556 \\ 0.0341 & & Y \\ & & Y=0.0069 \end{array}$$

النسبة النظربة للزنك في المعقد

$$Zn\% = \frac{0.0069}{0.0341} \times 100 = 20.2346\%$$

وبنفس الطريقة تم حساب نسب معادن الكادميوم والكوبالت والنحاس في معقداتها، حيث يبين الجدول (4) النسب النظرية والنسب التجريبية للمعادن في المعقدات:

الجدول (4): النسب النظرية والنسب التجريبية للمعادن في المعقدات

Comp.	Metal ratio		
	Calculated %	(Found) %	
$[Zn_2(L1)_2(L2)Cl_4]$	19.31	20.23	
$[Cd_2(L1)_2(L2)Cl_4]$	29.78	30.51	
$[Co_2(L1)_2(L2)Cl_4]$	18.16	18.67	
$[Cu_2(L1)_2(L2)Cl_4]$	19.13	19.80	

نتيجة لما تقدم أعلاه، واعتماداً على الدراسة الطيفية السابقة للمعقدات المحضرة، نقترح لها الصيغة الجزيئية العامة $[M_2(L1)_2(L2)Cl_4]$ وهذه المعقدات ثنائية النوى و مستقرة وثابتة في الهواء الجوي ورباعية التساند.

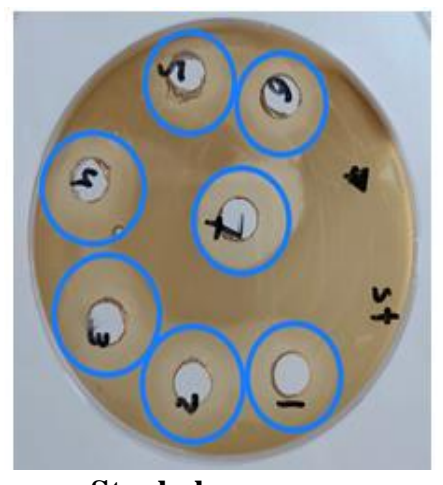
Zn^{2+} , المعقدات المعدنية المختلطة الكرياتينين و حمض الأديبيك مع أيونات المعادن (Cd^{2+} , Co^{2+} , Cu^{2+})

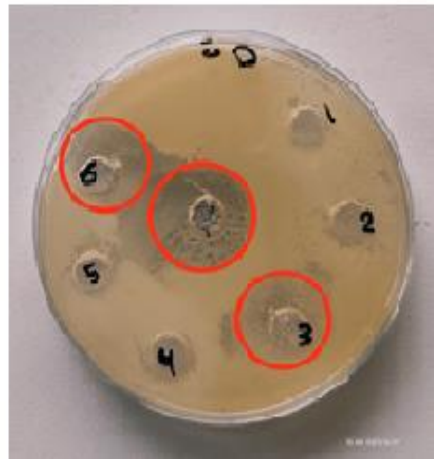
الصيغة التركيبية المقترحة للمعقدات المحضرة

6-4 دراسة النشاط البيولوجي للمعقدات المحضرة:

تم تحضير عينة من الكرياتينين والمعقدات المحضرة بتركيز (100 ميكروغرام / مل) وعينة من المادة المرجعية (جنتاميسين) (GE) بتركيز (100 ميكروغرام / مل) باستخدام المذيب ثنائي ميثيل سلفوكسيد (DMSO) ، ووضعت العينات داخل الأطباق بواسطة أسطوانات من الستانلس ستيل قطرها حوالي (Staphylococcus Aureeus) و جرثومة البجابية الغرام (Enterobacter) وتم الحضن لمدة 36 ساعة عند درجة حرارة الوسط الخلوي 37°C-35.5

سلسلة العلوم الأساسية رنيم سليم د.فائز حزواني





Staphylococcus

Enterobacter

الشكل (15): مناطق التثبيط للمعقدات المحضرة تجاه الجرثومتين الجدول(5): أقطار التثبيط للمعقدات المحضرة تجاه الجرثومتين

قطر منطقة الثبيط (mm)	تركيز العينة	العينة	نوع الجرثومة
20	100 μgr/ml	creatinine	Staphylococcus Aureeus (S.T)
25	100 μgr/ml	معقد الزنك	ايجابية الغرام
27	100 μgr/ml	معقد الكادميوم	
22	100 μgr/ml	معقد الكوبالت	
19	100 μgr/ml	معقد النحاس	
25	100 μgr/ml	جنتامايسين	
	100 μgr/ml	creatinine	Enterobacter سلبية الغرام
	100µgr/ml	معقد الزنك	سبيد اعرام
23	100 μgr/ml	معقد الكادميوم	
	100µgr/ml	معقد الكوبالت	
	100µgr/ml	معقد النحاس	
25	100µgr/ml	جنتامايسين	

يُلاحظ من الشكل (15): وجود مناطق تثبيط (هالة عدم نمو) للكرياتينين والمعقدات المحضرة مقارنة مع منطقة التثبيط للمادة المرجعية (جينتامايسين) من أجل الجرثومة إيجابية الغرام بينما لم تبدي أي فعالية اتجاه سلبية الغرام باستثناء معقد الكادميوم الذي أبدى فعالية عالية مقارنة مع منطقة التثبيط للمادة المرجعية. ومن خلال قياس قطر مناطق التثبيط للعينات كما هو موضح بالجدول (5)، نستنتج أن كل من الكرياتينين و المعقدات المحضرة تمتلك فعالية عالية وقدرة على تثبيط نمو الجرثومة ايجابية الغرام من أجل فقط معقد الكادميوم، إذ بلغ قطر هالة التثبيط 23mm.

5- الاستنتاجات والمقترحات:

- ر) تم تحضير معقدات مختلطة جديدة للكرياتينين وحمض الأديبيك مع أيونات المعادن -1 عمراديد جيدة، إذ وجد أن المعقدات ثنائية النوى ورباعية التساند. Zn^{2+} , Cd^{2+} , Co^{2+} Cu²⁺
- 2- حددت هوية كل من المرتبطتان والمعقدات المحضرة من خلال مطيافية الأشعة ما تحت الحمراء (FT-IR) ومطيافية الأشعة فوق البنفسجية والمرئية (UV-Vis) ، حيث أظهرت نتائج الدراسة توافقها مع الصيغ المقترحة للمعقدات المحضرة.
- 3- تم دراسة الفعالية البيولوجية للكرياتينين والمعقدات المحضرة على جراثيم إيجابية الغرام Staphylococcus Aureeus (S.T) و سلبية الغرام Staphylococcus Aureeus فعالية المادة المرجعية الجنتاميسين على نفس نوع الجراثيم؛ فتبين أن أنها قادرة على ايقاف نمو الجرثومة ايجابية الغرام بينما غير قادرة على ايقاف نمو الجرثومة سلبية الغرام باستثناء معقد الكادميوم الذي أبدى فعالية عالية.
- 4- نقترح اصطناع معقدات معدنية مختلطة باستخدام الكرياتينين وحمض الأديبيك مع أيونات معادن انتقالية أخرى.
- 5- نقترح اصطناع معقدات معدنية مختلطة باستخدام الكرياتينين وأحماض أخرى ثنائية الوظيفة الكربوكسيلية.

6- المراجع:

- [1]. Cotton FA, Wilkinson G, Murillo CA, Bochmann M. Advanced inorganic chemistry. John Wiley & Sons; 1999 Apr 13.
- [2]. العلمية؛ الكتب دار :بيروت التناسقية الكيمياء .ص الشامي .[2]
- [3]. Chikate RC, Karthikeyan S. Mixed ligand metal complexes in anticancer drug design. J Coord Chem. 2006;59(13):1469–1480.
- [4]. Crabtree RH. The Organometallic Chemistry of the Transition Metals. 7th ed. Wiley; 2020.
- [5]. Hartwig JF. Organotransition Metal Chemistry: From Bonding to Catalysis. University Science Books; 2010.
- [6]. Tella AC, et al. Mixed ligand metal complexes as potential environmental sensors. J Environ Chem Eng. 2018;6(2):1762–1770.
- [7]. Ariga K, et al. Coordination Chemistry in Functional Nanomaterials. Chem Soc Rev. 2008;37(10):2021–2123.
- [8]. Zhang Q, et al. Metal complex sensitizers in dye-sensitized solar cells. Coord Chem Rev. 2018;355:180–198.
- [9]. Ali AJ. Structural Investigations on Some Creatinine and Creatine Complexes.
- [10]. Ahmed IT. Synthesis and Equilibrium Studies of Mixed-Ligand Complexes of Co (II), Ni (II), and Cu (II) with Some Aliphatic Dicarboxylic Acids and Creatinine. Synthesis and Reactivity in Inorganic and Metal-Organic Chemistry. 2004 Mar 1;34(3):523-40.
- [11]. McDonald T, Drescher KM, Weber A, Tracy S. Creatinine inhibits bacterial replication. The Journal of antibiotics. 2012 Mar;65(3):153.
- [12]. المجلد مقارنة طرائق معايرة الكرياتينين في المصل ، مجلة ($20\overline{17}$) ، المجلد مير في ، بديع . مقارنة طرائق معايرة الكرياتينين في المصل ، مجلة ($20\overline{17}$) ، المجلد معايرة البعث
- [13]. Materazzi S, Gentili A, Curini R, D'Ascenzo G. New copper (II) complexes of Creatinine. Thermochimica acta. 1999 Apr 26;329(2):147-56.
- [14]. Materazzi S, Nugnes C, Vasca E, Panzanelli A, Bacaloni A, Gentili A, Curini R. New creatinine complexes of nickel (II). Thermochimica acta. 2000 Jun 1;351(1-2):61-9.
- [15]. Gangopadhyay D, Singh SK, Sharma P, Mishra H, Unnikrishnan VK, Singh B, Singh RK. Spectroscopic and structural study of the newly synthesized heteroligand complex of copper with creatinine

 Zn^{2+} , اصطناع وتوصيف بعض المعقدات المعدنية المختلطة للكرياتينين و حمض الأديبيك مع أيونات المعادن (Cd^{2+} , Co^{2+}) ودراسة فعاليتها البيولوجية

and urea. Spectrochimica Acta Part A: Molecular and Biomolecular Spectroscopy. 2016 Feb 5;154:200-6.